

بِسْمِ اللّٰهِ الرَّحْمٰنِ الرَّحِيْمِ



دانشگاه تهران  
پردیس علوم - دانشکده شیمی

عنوان:

خواص میان فازی و محاسبه ضرایب نفوذ در نانوکانال ها

نگارنده:

میثم پورعلی

استاد راهنما:

دکتر علی مقاری

پایان نامه جهت اخذ درجه کارشناسی ارشد  
نانوشیمی

۱۳۸۷ بهمن

## چکیده

در این کار تحقیقی ضخامت سطح مشترک فازهای مایع - بخار و ارتباط آن با دمای محاسبه کشش سطحی بررسی شد. ضخامت سطح مشترک در دماهای نزدیک به نقطه جوش نرمال سیالات در حد چند قطر مولکولی است و با افزایش دما ضخامت آن افزایش یافته و در نقطه یحرانی به بی نهایت می‌کند. ضخامت این سطح و ارتباط آن با دماباروش SAFT-DFT محاسبه شد و با استفاده از مقادیر محاسبه شده، کشش سطحی را ز روش CIM بدست آوردیم. مقادیر کشش سطحی محاسبه شده با این روش انطباق خوبی با مقادیر تجربی دارد. همچنین با استفاده از شبیه سازی دینامیک مولکولی تعادلی و غیر تعادلی ضرایب نفوذ سیالات در نانوکانال شکافی، نانولوله های کربنی و نانوکانال های باسطح مقطع متغیر مورد بررسی قرار گرفت. وقتی سیالات در محیط هایی با بعد نانومتری نفوذ می‌کنند رفتارهای متفاوتی را خود نشان می‌دهند و وقتی بعد قابل مقایسه با قطر مولکولی باشد روابط و معادلاتی که برای حالت ماکروسکوپی صادق اند، اعتبار خود را از دست می‌هند. برای چنین بررسی هایی باید از شکل اصلاح شده این روابط استفاده کرد. با استفاده از نتایج شبیه سازی نشان داده ایم که دما باعث تغییر رفتار نفوذ سیالات در نانوکانال ها می‌شود. شبیه سازی دینامیک مولکولی غیر تعادلی نشان داد که ضریب نفوذ در نانوکانال های با سطح مقطع متغیر به سطح مقطع وابسته بوده و با افزایش سطح مقطع مقدار ضریب نفوذ کاهش می‌یابد.

## فهرست مطالب

۱	SAFT-DFT و CIM برای محاسبه ضخامت لایه میان فازی و خواص آن با استفاده از مدل DFT	فصل اول
۲	مقدمه	۱-۱
۲	توابع توزیع	۲-۱
۵	مجموعه کانونی بزرگ	۳-۱
۷	رفتارسیال در حضوریک پتانسیل خارجی	۴-۱
۱۱	کاربردروش DFT برای سطح مشترک مایع و بخار	۵-۱
۱۲	معادلات حالت	۶-۱
۱۳	۱-۶-۱ معادله حالت برای مولکول های ساده	
۱۴	۲-۶-۱ معادله حالت برای مولکول های زنجیری	
۲۳	پروفایل چگالی در نزدیک سطح	۷-۱
۲۹	روش CIM در محاسبه ضخامت لایه میان فازی	۸-۱
۳۱	روش محاسبه ضخامت سطح مشترک مایع - بخار	۹-۱
۳۲	محاسبه ضخامت از طریق روش DFT	۱۰-۱
۳۴	نتیجه گیری	۱۱-۱
۴۰	مروری بر شبیه سازی های رایانه ای دینامیک مولکولی و مونت کارلو	فصل دوم
۴۱	پیشینه شبیه سازی	۱-۲
۴۲	برهمکنش های بین ذرات	۲-۲
۴۵	شبیه سازی مونت کارلو	۳-۲
۴۷	شبیه سازی دینامیک مولکولی	۴-۲
۵۰	۱-۴-۲ آغاز شبیه سازی	
۵۰	۲-۴-۲ شرایط مرزی دوره ای	
۵۲	۳-۴-۲ محاسبه انرژی پتانسیل	
۵۳	۴-۴-۲ تصحیح پتانسیل یا تصحیح برد بلند	
۵۵	۵-۴-۲ معادلات حرکت	

۵۵	۱-۴-۴-۵	معادله حرکت نیوتون
۵۵	۲-۴-۴-۵	معادله حرکت لاگرانژ
۵۶	۳-۴-۴-۵	معادلات حرکت هامیلتون
۵۷	۴-۴-۴-۶	روش اختلاف معین
۵۹	۷-۴-۴-۷	الگوریتم ورلت از دیدگاه مکانیک آماری
۶۲	۸-۴-۴-۸	محاسبه خواص سیستم با داده های شبیه سازی
۶۲	۹-۴-۴-۸	میانگین گیری زمانی و مجموعه ای
۶۳	۲-۴-۴-۸	افت و خیز
۶۴	۳-۴-۴-۸	استفاده ازتابع توزیع شعاعی برای محاسبه خواص سیستم
۶۵	۴-۴-۴-۸	توابع همبستگی زمانی
۶۶	۹-۴-۴-۹	ترموستات ها و کوپل دمایی

۶۸	فصل سوم	فرایند های نفوذ
۶۹	۱-۳	مقدمه
۶۹	۲-۳	حرکت براونی
۷۲	۳-۳	انواع نفوذ
۷۲	۱-۳-۳	نفوذ انتقالی
۷۳	۲-۳-۳	نفوذ خود نفوذی
۷۴	۴-۳	نفوذ در نانوکانال ها
۷۷	۵-۳	نفوذ آرگون در نانوکانال های شکافی
۷۷	۱-۵-۳	۱- شبیه سازی
۷۹	۲-۵-۳	۲- نتایج
۸۳	۶-۳	بررسی اثر دما بر نفوذ آرگون در نانو کانال های شکافی
۸۳	۱-۶-۳	۱- شبیه سازی
۸۳	۲-۶-۳	۲- نتایج
۹۰	۷-۳	نفوذ اکسیژن و مونوکسید کربن در نانولوله های کربنی
۹۰	۱-۷-۳	۱- شبیه سازی
۹۲	۲-۷-۳	۲- نتایج

۹۶	فصل چهارم جداسازی اکسیژن از مخلوط اکسیژن و مونوکسید کربن با استفاده از Y-Junction کربنی
۹۷	۱-۴ مقدمه
۹۷	۲-۴ بررسی اثربار روی نانولوله کربنی در برهمه کنش با مونوکسید کربن
۹۷	۱-۲-۴ شبیه سازی
۹۷	۲-۴-۱ نتایج
۱۰۳	۳-۴ جداسازی اکسیژن از مخلوط اکسیژن و مونوکسید کربن
۱۰۳	۱-۳-۴ شبیه سازی
۱۰۳	۲-۳-۴ Y-Junction کربنی
۱۰۴	۳-۴-۳ نتایج
۱۰۸	فصل پنجم نفوذ سیالات خالص در نانوکانال های باسطح مقطع متغیر
۱۰۸	۱-۵ نفوذ سیالات در نانوکانال های باسطح مقطع متغیر
۱۱۱	۲-۵ شبیه سازی
۱۱۳	۳-۵ نتایج
۱۱۶	منابع
۱۲۳	پیوست

فصل

اول

محاسبه ضخامت  
لایه میان فازی  
و خواص آن با استفاده از  
مدل DFT و CIM

## ۱-۱ مقدمه

بررسی خواص بین سطحی<sup>۱</sup> از اهمیت زیادی در زمینه های مختلف علوم کاربردی و مهندسی برخوردار است. آگاهی از کشش سطحی، پروفایل های بین سطحی و ضخامت لایه تشکیل شده بین دو فاز و جذب گیبس در بین سایر خواص از اهمیت بیشتری برخورداراند و می توانند به عنوان پارامترهایی برای طراحی فرایندهای جداسازی، کاتالیستی، انتقالی و در صنایع مختلفی مانند صنایع نفتی، شوینده ها، رنگ و... استفاده شوند. امروزه یکی از مهمترین روش های بررسی خواص سطحی و بین سطحی دیدگاه SAFT-DFT است. هدف از این بخش ارائه روشی برای محاسبه ضخامت سطح مشترک فازهای مایع - بخار و همچنین ارتباط آن با دماباستفاده از روش های SAFT-DFT و CIM است. سطح مشترک فازهای مایع و بخار، سطحی است با ضخامتی در اندازه نانومتری که در مجاورت دو فاز مایع - بخار تشکیل می شود و تعیین ضخامت آن اهمیت زیادی دارد. ابتدا روش SAFT-DFT و کاربرد آن در بررسی سطح مشترک مایع - بخار و سپس روش CIM و محاسبه ضخامت سطح مشترک ارائه می شود.

۱-۲ توابع توزیع<sup>۲</sup>

سیستمی متشکل از  $N$ - ذره در حجم  $V$  و دمای  $T$  را در نظر بگیرید، احتمال اینکه ذره ۱ در عنصر حجمی  $dr_1$ ، ذره ۲ در عنصر  $dr_2$  و به همین ترتیب ذره  $N$  در عنصر  $dr_N$  باشد چنین تعیین می شود [۱]

(۱-۱)

<sup>۱</sup> Interfacial properties  
<sup>۲</sup> Distribution Functions

چگالی احتمال،  $P^{(N)}$  انرژی پتانسیل برهمکنش،  $\beta = k_B T$ ، ثابت بولتزمن و  $Z_N$  انتگرال پیکربندی

هستند، انتگرل پیکربندی به صورت زیر تعریف می شود :

$$Z_N = \int \dots \int e^{-\beta V_N} dr_1 dr_2 \dots dr_N \quad (2-1)$$

احتمال اینکه ذره ۱ حول  $r_1$  در عنصر حجمی  $dr_1$ ، ذره ۲ حول  $r_2$  در عنصر حجمی  $dr_2$  و به همین ترتیب ذره

$n$  حول  $r_n$  در عنصر حجمی  $dr_n$  باشد ( $n < N$ ) بدون توجه به پیکربندی سایر ذرات عبارت است از :

$$P^{(n)}(r_1, r_2, \dots, r_n) dr_1 dr_2 \dots dr_N = \frac{e^{-\beta V_N}}{Z_N} dr_{n+1} dr_{n+2} \dots dr_N \quad (3-1)$$

از طرف دیگر، احتمال اینکه در عنصر  $dr_1$  حول  $r_1$  یک ذره وجود داشته باشد (هر مولکول از بین  $N$  مولکول

می تواند باشد) به همین ترتیب در عنصر  $dr_n$  نیز یک ذره باشد برابر است با:

$$\rho^{(n)}(r_1, r_2, \dots, r_n) = \frac{N!}{(N-n)!} P^{(n)}(r_1, r_2, \dots, r_n) \quad (4-1)$$

تفاوت عبارت های (۳-۱) و (۴-۱) این است که در عبارت (۳-۱)، در عنصر  $dr_1$  ذره ۱ وجود دارد در حالیکه

در عبارت (۴-۱) در عنصر  $dr_1$  جایگشت  $n$  ذره از  $N$ -ذره است.

رابطه طور خلاصه با  $\rho^{(n)}(r^n)$  نمایش می دهیم که به آن تابع توزیع می گویند.

احتمال پیدا کردن  $n$  ذره از سیستم در عنصر حجمی  $dr^n$  بدون توجه به موقعیت سایر ذرات

است. این توابع نقش مهمی در تعیین ساختار سیال دارند.  $\rho^{(2)}(r)$  و  $\rho^{(1)}_N(r_1, r_2)$  رابه ترتیب چگالی تک

ذره<sup>۱</sup> و چگالی دو ذره یا چگالی جفتی<sup>۲</sup> گویند که در بین سایر توابع توزیع نقش مهمی را در بررسی سیالات

چگال ایفا می کنند. با استفاده از عبارت های (۳-۱) و (۴-۱) برای

(۵-۱)

<sup>۱</sup> Single-Particle density

<sup>۲</sup> Pair-density

شکل خلاصه شده  $dr_{n+1}dr_{n+2}...dr_N$  است. انتگرال گیری از کل حجم برابر است با:

$$\int \rho^{(n)}(r^n) dr^n = \frac{N!}{(N-n)!} \quad (6-1)$$

برای  $\rho_N^{(1)}(r)$  عبارت (6-1) می‌شود:

$$\rho_N^{(1)}(r) = N \frac{1}{Z_N} \int e^{-\beta V_N} dr^2 ... dr^N \quad (7-1)$$

$\rho_N^{(1)}(r)$  ساده ترینتابع توزیع می‌باشد و عبارت  $\rho^{(1)}(r_1)dr_1$  احتمال پیدا کردن یک ذره در عنصر حجم  $dr_1$  است. برای یک سیال همگن و یکنواخت که پتانسیل خارجی برآن اعمال نمی‌شود  $\rho_N^{(1)}(r)$  مستقل از  $r$  است:

$$\int \rho^{(1)}(r) dr = N \rightarrow \rho^{(1)} \int (r) dr = N \rightarrow \rho^{(1)} V = N \quad (8-1)$$

همانطور که عبارت (8-1) نشان می‌دهد  $\rho_N^{(1)}(r)$  برای یک سیال همگن همان تعریف چگالی را دارد.

در حالت کلی  $\rho^{(n)}(r_1, r_2, ..., r_n)$  براساس عبارت زیر به توابع توزیع تک ذره مربوط می‌شود:

$$\rho^{(n)}(r_1, r_2, ..., r_n) = \rho^n g^{(n)}(r_1, r_2, ..., r_n) \quad (9-1)$$

در عبارت بالا  $g^{(n)}(r_1, r_2, ..., r_n)$  راتابع همبستگی<sup>۱</sup> گویند. این تابع ارتباط و بستگی ذرات به هم دیگر را تعیین می‌کند. اگر ذرات مستقل از هم باشند، آنگاه

$$g^{(n)}(r_1, r_2, ..., r_n) = 1 \quad \text{و} \quad \rho^{(n)}(r_1, r_2, ..., r_n) = \rho^n \quad (10-1)$$

مهمترین تابع همبسته که از اهمیت بسیار زیادی برخوردار است  $g^{(2)}(r_1, r_2)$  که آنرا به طور خلاصه

با نشان می‌دهند و آن تابع توزیع شعاعی<sup>۲</sup> گویند.

در برخی از موارد مناسب است چگالی را براساس تابع دلتای دیراک بیان کنیم:

<sup>۱</sup> Correlation Function

<sup>۲</sup> Radial Distribution Function(RDF)

$$\begin{aligned}\langle \delta(r - r_1) \rangle &= \frac{1}{Z_N} \int \delta(r - r_1) \exp[-\beta V_N(r_1, r_2, \dots, r_N)] dr^N \\ &= \frac{1}{Z_N} \int \dots \int \exp[-\beta V_N(r, r_2, \dots, r_N)] dr_2 \dots dr^N\end{aligned}\quad (11-1)$$

از آنجایی که در عبارت بالا، میانگین مجموعه‌ای تابع  $r$  و مستقل از شماره ذره است، داریم:

$$\left\langle \sum_{i=1}^N \delta(r - r_i) \right\rangle = N \frac{1}{Z_N} \int \dots \int \exp[-\beta V_N(r, r_2, \dots, r_N)] dr_2 \dots dr^N \quad (12-1)$$

ب مقایسه (۱۱-۱) و (۱۲-۱) به این نتیجه زیر می‌رسیم که

$$\rho_N^{(1)}(r) = \left\langle \sum_{i=1}^N \delta(r - r_i) \right\rangle \quad (13-1)$$

چگالی میکروسکوپی یا موضعی نیز به صورت زیر تعریف می‌شود [۲]

$$\rho(r) = \sum_{i=1}^N \delta(r - r_i) \quad (14-1)$$

### ۱-۳ مجموعه کانونی بزرگ<sup>۱</sup>

از دیدگاه مکانیک آماری برای بررسی سیستم‌های باز<sup>۲</sup> یعنی سیستم‌هایی که با محیط خود مبادله جرم می‌کنند از مجموعه آماری کانونی بزرگ استفاده می‌شود که برای توصیف حالت ترمودینامیکی این سیستم‌ها از متغیرهای  $V, \mu$  و  $T$  استفاده می‌کنند. پتانسیل ترمودینامیکی<sup>۳</sup> این مجموعه  $\Omega$  است که به عنوان

تابع مشخصه با تابع تقسیم<sup>۴</sup>،  $\Xi$ ، طبق رابطه زیر ارتباط دارد [۲۱ و ۲]

$$\Omega = -kT \ln \Xi \quad (15-1)$$

پتانسیل ترمودینامیکی تابعی از متغیرهای مستقل سیستم است که در تعادل، کمترین مقدار خود را دارد.

<sup>۱</sup> Grand Canonical Ensemble

<sup>۲</sup> Open system

<sup>۳</sup> Thermodynamic Potential

<sup>۴</sup> Partition Function

تابع تقسیم مجموعه کانونی بزرگ  $\Xi$ ، به صورت زیر تعریف می شود :

$$\Xi = \sum_{N=0}^{\infty} \frac{(e^{\beta\mu})^N}{h^{3N} N!} \iint e^{-\beta H} dr^N dp^N = \sum_{N=0}^{\infty} \frac{z^N}{N!} Z_N \quad (16-1)$$

$z$  فعالیت مطلق<sup>۱</sup> و برابر است با :

$$z = \frac{e^{\beta\mu}}{\Lambda^3} \quad (17-1)$$

$\Lambda$  طول موج دوبروی<sup>۲</sup> حرارتی است که با عبارت زیر تعریف می شود:

$$\Lambda = \left( \frac{h^2}{2\pi m k_B T} \right)^{\frac{1}{2}} \quad (18-1)$$

$h$  ثابت پلانک،  $m$  جرم ذره و  $k_B$  ثابت بولتزمن هستند.

در عبارت (16-1)،  $H$  هامیلتونی سیستم است که در غیاب پتانسیل خارجی برابر است با:

$$H = K_N(p^N) + V_N(r^N) \quad (19-1)$$

جمله  $(p)K$  سهم جملات مستقل در هامیلتونی را نشان می دهد که همان جمله انرژی جنبشی و جمله

دوم هم انرژی پتانسیل است (به بخش دوم مراجعه شود).

$\Omega$  تبدیل لزاندر<sup>۳</sup> انرژی هلمهولتز است که مطابق زیر می باشد:

$$\Omega = F - \mu N \quad (20-1)$$

با استفاده از تعریف تابع هلمهولتز

$$F = U - TS \quad (21-1)$$

$$(22-1)$$

و جایگذاری معادلات (21-1) و (22-1) در (20-1) برای پتانسیل کانونی بزرگ داریم:

<sup>۱</sup>Absolute Activity

<sup>۲</sup> de Broglie thermal wavelength

<sup>۳</sup> Legendre Transformation

$$(\Sigma^3 - 1)$$

تغییر در  $\Omega$  در اثر تغییر در متغیرهای مستقل برابر است با:

$$d\Omega = -SdT - PdV - Nd\mu \quad (\text{II-1})$$

تعريف  $(r^n)^{\rho}$  در مجموعه کانونی بزرگ به صورت زیر است

$$\rho^{(n)}(r^n) = \frac{1}{\Xi} \sum_{N=n}^{\infty} \frac{Z_N}{(N-n)!} \int e^{-\beta V_N} dr^{N-n} \quad (\text{Eq. 1})$$

## ۱-۴ رفتارسیال در حضور یک پتانسیل خارجی

دربخش قبل روابط مربوط به مجموعه کانونی بزرگ مطرح شد. هنگامی که سیالات درمعرض یک پتانسیل خارجی قرار می‌گیرند که به صورت نامتقارن به سیال وارد می‌شود مانند قرار گرفتن درمجاورة یک دیوار که اتم‌های (یا مولکول‌های) دیوار با سیال برهمکنش دارند، یا مجاورت دو فاز درکناره‌مدیگر مانند دوفازمابع و بخار، رفتارسیال در توده<sup>۱</sup> با سیال درمجاورة دیوار یا فاز متفاوت خواهد بود، یعنی تقارن سیال از بین می‌رود سیال رفتارهای مگن خواهد داشت. ناهمگنی را براساس انحراف چگالی تک

$$\text{ذره، } (\delta\rho^{(1)}(r) - \rho_0), \text{ از مقدارش در حالت همگن (یاتوده سیال) تعریف می کنند [۲].}$$

برای بررسی سیستم های ناهمگن باید روابط بیان شده رابه چنین سیستم هایی تعمیم داد. کلید حل این مساله فرمول بندی دوباره پتانسیل، کانونه، بزرگ است.

هاملتونی، یک سیستم در حضور بتانسیا، خارجی، پایه است با:

( $\Sigma Y = 1$ )

' Bulk

اگر پتانسیل خارجی را به تک تک ذرات ارتباط دهیم، داریم [۲]

$$\Phi_N(r^N) = \sum_{i=1}^N \phi(r_i) = \int \rho(r) \phi(r) dr \quad (28-1)$$

که  $\rho(r)$  چگالی موضعی است. میانگین چگالی در نقطه  $r$  برابر است با

$$\langle \rho(r) \rangle = \rho^{(1)}(r) \quad (29-1)$$

$\rho^{(1)}(r)$  چگالی تک ذره یا پروفایل چگالی است. با استفاده از عبارت های (۲۸-۱) و (۲۹-۱)، عبارت زیر

را خواهیم داشت:

$$\langle \Phi_N \rangle = \int \rho^{(1)}(r) \phi(r) dr \quad (30-1)$$

نوسان در چگالی موضعی حول مقدار میانگین توسطتابع همبستگی چگالی- چگالی<sup>۱</sup>  $H^{(2)}(r, r')$  بیان

می شود [۳و۲]:

$$H^{(2)}(r, r') = \langle [\rho(r) - \langle \rho(r) \rangle][\rho'(r) - \langle \rho'(r) \rangle] \rangle \quad (31-1)$$

با شامل کردن جمله پتانسیل خارجی در هامیلتونی، تابع تقسیم مجموعه کانونی بزرگ خواهد شد:

$$\Xi = \sum_{N=0}^{\infty} \frac{1}{N!} \int e^{(-\beta V_N)} \left( \prod_{i=1}^N z e^{\frac{N}{-\beta \phi(r_i)}} \right) dr^N \quad (32-1)$$

باجایگرین کردن مقدار فعالیت مطلق، (۱۷-۱)، در (۳۲-۱) داریم:

$$\Xi = \sum_{N=0}^{\infty} \frac{1}{N!} \int \dots \int e^{(-\beta V_N)} \left( \prod_{i=1}^N \frac{1}{\Lambda^3} e^{[\beta(\mu - \phi(r_i))]} \right) dr_1..dr_N \quad (33-1)$$

عبارت  $\dots$  را پتانسیل شیمیایی ذاتی<sup>۲</sup> گویند: [۳و۲]

$$(34-1)$$

باجایگرینی مشابه ای را برای عبارت (۱-۵)، توابع توزیع در حضور پتانسیل خارجی به دست

<sup>۱</sup> Density-density correlation function

<sup>۲</sup> Intrinsic chemical potential

می آید :

$$\rho^{(n)}(r^n) = \frac{1}{\Xi} \sum_{N=0}^{\infty} \frac{1}{N!} \int e^{(-\beta V_N)} \left( \prod_{i=1}^N e^{\frac{-\beta \phi(r_i)}{r_i}} \right) dr^N \quad (35-1)$$

باعملیات مشابه ای که روی تابع تقسیم انجام شد می توان عبارتی بر حسب  $\rho^{(n)}(r^n)$  بدست آورد.

فرض کنید تعریف  $\phi(r)$ ، شامل پتانسیل محدود کننده باشد، مانندبرهمکنش بین ذرات و دیوار ظرف، بنابراین متغیر ترمودینامیکی حجم رامی توان با  $\phi(r)$  جایگزین کرد که در این صورت حجم قابل دسترس ذرات فضایی است که پتانسیل مقداری معین باشد. با این جایگزینی داریم:

$$\delta U = T \delta S + \int \rho^{(1)}(r) \delta \phi(r) dr + \mu \delta N \quad (36-1)$$

برای تابع هلمهولتز،  $F = U - TS$ ، داریم:

$$\delta F = -S \delta T + \int \rho^{(1)}(r) \delta \phi(r) dr + \mu \delta N \quad (37-1)$$

همانند عبارت (34-1) برای پتانسیل شیمیایی ذاتی، انرژی آزاد ذاتی<sup>۱</sup>،  $F_i$ ، نیز چنین تعریف می شود

$$F_i = F - \int \rho^{(1)}(r) \phi(r) dr \quad (38-1)$$

توجه شود که اگر پتانسیل خارجی وجود نداشته باشد انرژی آزاد ذاتی همان انرژی آزاد است. با استفاده از

معادلات (37-1) و (38-1) داریم

$$\delta F_i = -S \delta T + \int \delta \rho^{(1)}(r) \phi(r) dr + \mu \delta N \quad (39-1)$$

معادله (39-1) به عبارت زیر تبدیل می شود:

$$(40-1)$$

با استفاده از

<sup>۱</sup> Intrinsic Free Energy

همانطور که از (۳۸-۱) مشخص است  $\psi(r)$  به عنوان متغیر میدان مزدوج با  $\rho^{(1)}(r)$  است. همچنین این عبارت نشان می دهد که  $F_i$  متغیر  $\rho^{(1)}(r)$  باشد. بالاخره پتانسیل کانونی بزرگ  $\Omega = F - \mu N$  با استفاده از عبارت (۳۸-۱) با عبارت زیربه  $F_i$  مربوط می شود

$$\begin{aligned} \Omega &= F_i + \int \rho^{(1)}(r) \phi(r) dr - \mu N \\ &= F_i - \int \rho^{(1)}(r) [\mu - \phi(r)] dr \\ &= F_i - \int \rho^{(1)}(r) \psi(r) dr \end{aligned} \quad (41-1)$$

بادیفرانسیل گیری از طرفین عبارت (۴۰-۱) داریم

$$\begin{aligned} \delta\Omega &= -S \delta T + \int \rho^{(1)}(r) \delta \phi(r) dr - N \delta \mu \\ &= -S \delta T + \int \rho^{(1)}(r) \delta \psi(r) dr \end{aligned} \quad (42-1)$$

روابط (۴۰-۱) و (۴۲-۱) نشان می دهند که  $F_i$  و  $\Omega$  تابع دما و به ترتیب تابعی از  $\rho^{(1)}(r)$  و  $\psi(r)$  هستند. اگرچه  $\Omega$  به صورت تابعی از  $\psi(r)$  است ولی با توجه به ارتباط  $\psi(r)$  و  $\rho^{(1)}(r)$  (عبارت (۳۵-۱)) بهتر است که  $\Omega$  رانیز به صورت تابعی از  $\rho^{(1)}(r)$  بنویسیم. بنابراین تغییر، به طور مثال، در  $F_i$  برآثر تغییر در  $\rho^{(1)}(r)$  به صورت مشتق تابعی است. نظریه تابعی چگالی (DFT) براساس فانکشنال پتانسیل کانونی بزرگ استوار است. (برای اگاهی بیشتر درباره تابعی ها به پیوست مراجعه شود)

(باتوجه به آنچه پیوست آمده است) اگر  $F$  تابعی از تابع  $(x) u$  باشد، تغییر  $F$  به دلیل تغییر کوچک در تابع  $(x) u$  برابر است با:

$$, \quad (43-1)$$

با استفاده از عبارت های (۴۰-۱) و (۴۲-۱) و اعمال روش مشتق تابعی، (۴۳-۱)، داریم:

$$w \quad (44-1)$$

بهترین تخمین برای  $\rho^{(1)}(r)$  و  $\Omega$  از کمینه کردن  $\Omega$  نسبت به  $\rho^{(1)}(r)$  بدست می‌آید. برای کمینه کردن تابعی هایی مانند  $\Omega$  باید معادله دیفرانسیلی بنام معادله اولر یا اولر- لاگرانژ حل شود. به چنین طرح محاسباتی نظریه تابعی چگالی<sup>۱</sup> گفته می‌شود.<sup>[۲]</sup>

## ۱-۵ کاربرد روش DFT برای سطح مشترک مایع و بخار

همانطور که گفته شد روش DFT براساس تابع پتانسیل کانونی بزرگ است که به صورت زیر تعریف شد:

$$\Omega[\rho(r)] = F_i[\rho(r)] + \int \rho(r)[\phi(r) - \mu] dr \quad (45-1)$$

با استفاده از تقریب چگالی موضعی<sup>۲</sup> LDA، تابع انرژی هلمهولتز رامی توان به صورت زیرنوشت:<sup>[۲]</sup>

$$F_i[\rho(r)] = \int f[\rho(r)] dr \quad (46-1)$$

که در آن  $f$  بیانگر چگالی انرژی هلمهولتز است:

$$f[\rho(r)] = \frac{\delta F[\rho(r)]}{\delta[\rho(r)]} = \frac{F[\rho(r)]}{V} \quad (47-1)$$

در غیاب پتانسیل خارجی،  $\phi(r) = 0$ ، واستفاده از تقریب LDA عبارت (۴۵-۱) به شکل زیر در می‌آید:

$$\Omega[\rho(r)] = \int [f[\rho(r)] - \rho(r)\mu] dr \quad (48-1)$$

اگر معادله (۴۸-۱) کمینه شود، برای پتانسیل شیمایی خواهیم داشت:

$$\mu = \frac{\delta f[\rho_0(r)]}{\delta \rho_0(r)} \quad (49-1)$$

باتعمیم عبارت (۴۹-۱) به تغییر در حالت ترمودینامیکی سیستم هایی که دارای مرز مشترک اند، داریم:

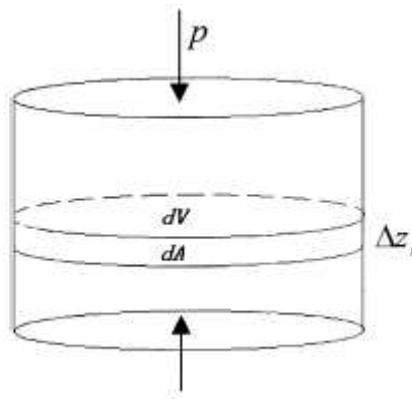
$$(50-1)$$

<sup>۱</sup> Density Functional Theory  
<sup>۲</sup> Local Density Approximation

٪ کشش سطحی است و به کاری که برای افزایش سطح به میزان یک واحد بکارمی رود، اطلاق می شود و برای تمام سیالات خالص مقدار مثبت است که نشان می دهد که نیروهای ترمودینامیکی تمایل دارند سطح خود را کاهش دهند،  $dA$  نیز تغییر سطح است. در لحظه تعادل و در دمای ثابت تابع پتانسیل کافونی بزرگ به شکل زیر در می آید:

$$d\Omega = \gamma dA - P dV \quad (51-1)$$

$P$  فشار بخار تعادلی در دمای مربوطه است.



شکل (1-1) بخشی از مرز مشترک مایع و بخار که به لایه هایی با اندازه  $\Delta z$  تقسیم شده است

اگر سطح مایع را به تعداد زیادی لایه با اندازه  $\Delta z$  تقسیم کنیم (شکل (1-1)), کشش سطحی در لایه  $n$  ام

برابر است با: [۴]

$$(52-1)$$

چگالی عددی در تعادل،  $A$  نیز مساحت سطح است. کشش سطحی کل برابر است با:

$$(53-1)$$

که  $n$  تعداد لایه هاست. بامشتق گیری از عبارت (۴۸-۱) نسبت به حجم داریم:

$$\frac{d\Omega[\rho_0(z)]}{dV} = f[\rho_0(z)] - \rho_0(z)\mu \quad (54-1)$$

باجایگرینی (۵۴-۱) در (۵۳-۱) برای کشنش سطحی خواهیم داشت:

$$\gamma = \int_{-\infty}^{\infty} [f[\rho_0(z)] - \rho_0(z)\mu + P] dz \quad (55-1)$$

و در نهایت کشنش سطحی با استفاده از عبارت ترمودینامیکی  $\frac{\mu}{Nk_B T} = \frac{F}{Nk_B T} + \frac{P[\rho_0(z)]}{\rho_0(z)k_B T}$  به صورت

زیر تعریف می شود [۴]

$$\gamma = \int_{-\infty}^{\infty} [P - P[\rho_0(z)]] dz \quad (56-1)$$

برای محاسبه کشنش سطحی از یک طرف به ارتباط بین فشار و چگالی واژ طرف دیگر به عبارتی برای پروفایل چگالی در نزدیکی سطح نیازمندیم. با استفاده از معادلات حالت می توان ارتباط بین فشار و چگالی را پیدا کرد، در ادامه به معادله حالت می پردازیم و سپس روشی برای بدست آوردن پروفایل چگالی ارائه خواهیم داد.

## ۶-۱ معادلات حالت

### ۱-۱-۱ معادله حالت برای مولکول های ساده

معادلات حالت نقش مهمی در مطالعه سیالات مانند تعادل فازی سیالات و مخلوط آنها ایفا می کنند. معادلات حالت زیادی برای بررسی سیالات ارائه شده است، معادله حالت واندروالس اولین معادله حالتی بود که برای پیش بینی تعادل مایع- بخار ارائه شد:

$$(57-1)$$

در عبارت (۱)  $p$  فشار،  $T$  دما و  $V$  حجم سیال هستند، پارامتر های  $a$  و  $b$  به ترتیب معیاری از برهمنکنش های جاذبه بین مولکولی و اندازه مولکول ها (جمله جسم سخت<sup>۱</sup>) می باشند. این دو پارامتر ازداده های بحرانی سیال بدست می آیند. معادله واندر والس به صورت جمله های دافعه (کره سخت) بعلاوه جاذبه تلقی می شود.

این معادله توصیفی کیفی از فازهای مایع و بخار و انتقال فاز ارائه می دهد ولی از نظر دقیق در محاسبه خواص بحرانی و تعادل فازی ضعیف می باشد. معادلات حالت زیادی براساس معادله حالت واندر والس و با تغییر جمله دافعه وجاذبه یا هردو ارائه شد. جدول های (۱-۱) - (۱-۳) برخی از این تغییرات را نشان می دهند.

#### ۱-۶-۲ معادله حالت برای مولکول های زنجیری

در سال ۱۹۵۷ پریگوژین<sup>۲</sup>[۵] نظریه ای برای بررسی خواص مولکول های زنجیری ارائه داد. نظریه وی براین اساس استوار بود که حرکت های چرخشی و ارتعاشی مولکول ها تابعی از چگالی است بنابراین بر معادله حالت و دیگر خواص اثرمی گذارند. در سال ۱۹۶۵ فلوری<sup>۳</sup> نظریه ای برای پلیمرها را ارائه داد که شبیه کار پریگوژین بود.[۶] محدودیت هر دو نظریه این بود که فقط در چگالی های بالا (حالت مایع) معتبر بودند. اما کارهای بعدی در زمینه معادله حالت برای مولکول های پیچیده تر براساس نظریه اختلال<sup>۴</sup> بود[۱ و ۲]. نظریه اختلال براین فرض استوار است که ساختاریک سیال توسط نیروهای بردکوتاه تعیین می شود و سپس این ساختار توسط نیروهای برد بلند جاذبه تعديل می گردد. در این نظریه پتانسیل به دو جمله تفکیک می شود جمله مربوط به یک سیستم مرجع (مثلاً گونه ای که برهمنکنش بین آنها فقط دافعه است) و جمله مربوط به اختلال (جمله جاذبه).

<sup>۱</sup> Hard Body Term

<sup>۲</sup> Prigogine

<sup>۳</sup> Flory

<sup>۴</sup> Perturbation Theory